

## テーパーのついてるアーチの崩壊荷重について

東京大学工学部 正員 奥村 敏恵  
名古屋工業大学 正員 ○松浦 聖

まえがき 支承構造は固定の、いわゆるバスケットハンドル形式のアーチに、單一集中荷重が、そのスパン中央に鉛直に加えられるとき、かかるアーチの崩壊荷重を、とくにテーパーの角度うの変化による影響に着目して、解析的に求めた。解析の便宜から、その主構は円弧アーチで、また完全塑性体から構成され、その断面も一様の長方形断面と考えている。崩壊荷重の算定には、降伏関節を想定して、いわゆる仮想仕事の原理を用いて、その上界を求めた。またこくに断面力として、軸力、ねじりモーメント、面内曲げモーメントおよび面外曲げモーメントの4つを考え、したがつて4次元降伏多面体なる概念を考慮して算定している。

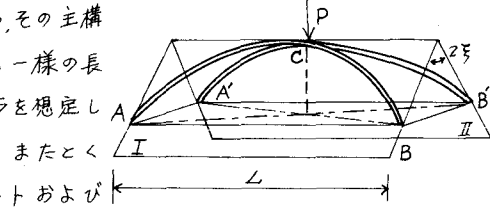


図-1 アーチ見取図

## 1 崩壊構構および幾何学的変形条件式

## (1) 断面力、変位の記号および符号 図-2に解析に考慮

する断面力を示し、崩壊構構における各関節での、それら断面力に対応する変位は、つぎのように考える。面内曲げモーメントおよびそれに対応する回転角は $M_y$ 、面外曲げモーメントおよび回転角は $M_z$ 、軸力および柱軸方向変位は $N$ 、 $\Delta$ 、さうにねじりモーメントおよびねじれ角は $T$ 、 $\gamma$ とする。つぎに崩壊構構における頂点Cの変位として、図-3のよう $U$ 、 $V$ 、 $W$ 、 $R_H$ および $R_V$ を考える。

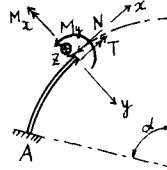


図-2 断面力(面I)

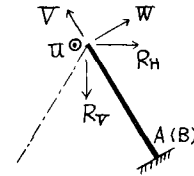


図-3 頂点Cの変位

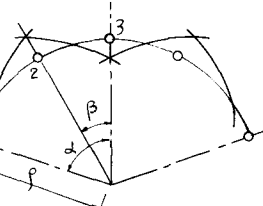
(2) 崩壊構構 構造物が対称で、さらに負載される荷重も対称だから、図-4に示すよろ、支点、頂点およびその中間点に塑性ヒンジが発生して対称形に塑性崩壊する構構が考えられよう。

## (3) アーチの幾何学的変形条件 かく塑性ヒンジにおいて許される部分

的微小な運動によって、ヒンジ3に生ずる変形は、幾何学的に決定される。

$$U = \varphi_1(1 - \cos\beta) + \varphi_2(1 - \cos\beta) + \Delta_1 \cos\alpha + \Delta_2 \cos\beta + \Delta_3/2$$

$$V = \varphi_1(\varphi_1 \sin\alpha + \varphi_2 \sin\beta) - \Delta_1 \sin\alpha - \Delta_2 \sin\beta, \quad W = -\varphi_1(\varphi_1(1 - \cos\alpha) + \varphi_2(1 - \cos\beta) + \phi_1 \sin\alpha + \phi_2 \sin\beta) \quad (1)$$



$R_H = W \cos\beta - V \sin\beta, \quad R_V = -W \sin\beta - V \cos\beta \quad \dots \dots (2)$  ここで、崩壊変形の  
対称性と連續性を考慮すると、変形量の満足すべき適合条件式(3)が考えられる。

$$\bar{U} = 0, \quad R_H = 0, \quad \varphi_1 + \varphi_2 + \varphi_{3/2} = 0; \quad \omega_1 + \omega_2 + \omega_{3/2} = 0, \quad \omega'_1 + \omega'_2 - \omega'_3 = 0 \quad \dots \dots (3)$$

ここで、 $\omega_i$ はアーチ面内で考えた水平軸まわりの回転角、 $\varphi_i$ はアーチ面内で考えた鉛直軸まわりの回転角。

2 崩壊荷重の算定 アーチの崩壊荷重は、仮想仕事の原理を用いて、その(ニ)の場合 図-5-a に示す長方形断面)上界が算定できる。さてニニで式(4)に示す一般化された応力  $m_y \equiv M_y/M_{oy}$ ,  $n \equiv N/N_o$ ,

$m_x \equiv M_x/M_{ox}$ ,  $t \equiv T/T_o \dots \dots (4)$  を考え、それら $n$ ,  $m_x$ ,  $t$ に对应するつぎの式(5)に示すヒズミ入 $\gamma$ および $\psi$ を導入して計算を進めることとする。 $(M_o, T_o$ および $N_o$ は、かく降伏モーメントおよび降伏力)

$$\lambda_i = \frac{N_o}{M_{oy}} \Delta_i, \quad \Delta_i = \frac{M_{oy}}{N_o} \lambda_i = 2Lh \lambda_i; \quad \varphi_i = \frac{M_{oy}}{M_{ox}} \phi_i, \quad \phi_i = \frac{M_{oy}}{M_{ox}} \varphi_i = \kappa \varphi_i; \quad \gamma_i = \frac{T_o}{M_{oy}} \varphi_i, \quad \psi_i = \frac{M_{oy}}{T_o} \gamma_i = \eta \gamma_i \dots \dots (5)$$

$$\text{ニニに}, \quad h = H/4L, \quad \kappa = H/B = H/L \cdot L/B, \quad \gamma = 3\kappa^2/3\kappa - 1 \dots \dots (6)$$

さて内部仕事 $W_u$ は(7)で、

$$W_e = M_{oy} [4(m_y \varphi_1 + m_x \varphi_2 + n_1 \lambda_1 + t_1 \gamma_1) + 4(m_y \varphi_2 + m_x \varphi_1 + n_2 \lambda_2 + t_2 \gamma_2) + 2(m_y \varphi_3 + m_x \varphi_4 + n_3 \lambda_3 + t_3 \gamma_3)] \quad \dots (7)$$

一方また負載される荷重を  $P$  とすると、外部仕事  $W_e$  はつきの式(8)で算定される。

$$W_e = P \left[ \rho \{ (G_i \sin \delta + Q_i \sin \beta) - 2h_i \lambda_i \sin \delta - 2h_i \lambda_i \sin \beta \} \cos \delta + \rho \{ -g \gamma_i (1 - \cos \delta) - g \gamma_i (1 - \cos \beta) - K \varphi_i \sin \delta - K \varphi_i \sin \beta \} \sin \delta \right] \quad \dots (8)$$

したがつて仮想仕事の原理により、式(7)と(8)から崩壊荷重  $P$  は算定されることとなる。

さて  $P$  の算定式に含まれている  $\varphi_i, \varphi_i, \lambda_i$  や  $\gamma_i$  の間にには降伏条件を満足し、さらに塑性の応力ひずみ法則したがつて塑性流動の法則式(9)を考慮する必要がある。

$$\varphi_i = \mu_i \frac{\partial \bar{\sigma}}{\partial M_{oy}}, \quad \varphi_i = \mu_i \frac{\partial \bar{\sigma}}{\partial M_{ox}}, \quad \lambda_i = \mu_i \frac{\partial \bar{\sigma}}{\partial n_i}, \quad \gamma_i = \mu_i \frac{\partial \bar{\sigma}}{\partial t_i} \quad \dots (9)$$

ここに、 $\bar{\sigma}$  は降伏関数、 $\mu_i$  は正のスカラー量である。結局崩壊荷重は式(3)と式(9)の関係を考慮して計算すればよい。

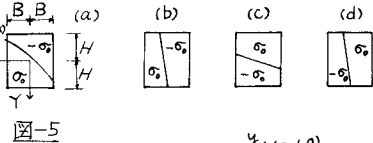


図-5

3 降伏条件、降伏関数  $m_x, m_y, n$  や  $\varphi_i, \lambda_i$  の断面力 4 つを考慮するとき、

降伏条件は図-5 に対して、つきの式(10)のようになら求められる。

$$\left. \begin{array}{l} 5-a, \quad m_y \sqrt{1-t^2} + \frac{3}{4} m_x^2 + n^2 + t^2 = 1; \quad 5-b, \quad \frac{3}{4} m_y^2 + m_x \sqrt{1-t^2} + n^2 + t^2 = 1 \\ 5-c, \quad -m_y \sqrt{1-t^2} + \frac{3}{4} m_x^2 + n^2 + t^2 = 1; \quad 5-d, \quad \frac{3}{4} m_y^2 - m_x \sqrt{1-t^2} + n^2 + t^2 = 1 \end{array} \right\} (10)$$

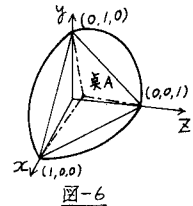


図-6

4 4 次元降伏多面体 (1) 降伏条件の多面体近似

問題を解くのに降伏条件式(10)を折平面近似で置き換えると便利である。さて 2 次元の降伏曲線は円に、3 次元の降伏曲面は球に近いことより、4 次元の降伏曲面は  $x^2 + y^2 + z^2 + w^2 = 1$  を満足する、いわゆる 4 次元の球に近いと類推できよう。そこで、さらにその球に内接する近似多面体を近似降伏多面体であると、まず考えるとしている。いまオイリオ限に例をとり、3 次元で云はる 図-6 のように真中の A 点と各軸の頂点とをそれぞれ結んでできる平面(1 象限に 3 平面)からなる 24 面体を、4 次元では、この A 点に対応して A' 点( $x=y=z=w=1$ )、 $(0.5, 0.5, 0.5, 0.5)$  と 4 つの各軸の頂点とを結んでできる、いわゆる超平面によりなる 64 面体(1 象限に 4 平面で 16 象限)を考慮することとする。多面体の方程式の一例(オイリオ限)を表-1 に列挙する。

(2) 近似降伏多面体の方程式

(1) では 4 次元の球に内

$x+y+z-w=1; (1,0,0)(0,1,0)(0,0,1)(0.5,0.5,0.5)$
$-x+y+z+w=1; (0,1,0)(0,0,1)(0.5,0.5,0.5)$
$x-y+z+w=1; (0,0,1)(0,1,0)(0.5,0.5,0.5)$
$x+y-z+w=1; (0,0,1)(1,0,0)(0,1,0)(0.5,0.5,0.5)$

接する多面体について考察したが、いま論じている問題

の近似降伏多面体の方程式は、実は球に内接するのではなくて、球に近いと考えるべきだから、A' 点として式(10)よ

り降伏曲面上の点を求めて補正をすれば、つきのような

降伏曲面に対する近似降伏多面体の 64 個の超平面の方程式が得られる。

オイリオ限の場合のみ列挙すれば表-2 のようである。

5 数値計算 数値計算をする場合、塑性ヒンジが降伏多面体上のどこ

にあるか、さらにヒンジの位置( $\beta$  は未定)はどこかを定め、最も上界

として適した近似崩壊荷重は電子計算機を使って、数多くの試算により決定した。

無次元化した崩壊荷重を  $F \equiv P L / M_{oy}$  とすると、この  $F$  に

影響を与える独立変数は  $t/L$ ,  $H/L$ , うちの 3 つで、 $B/L$  は関係しない。(B は

$M_{oy}$  に関連はある) 計算の結果からは、テーパーの角度  $\alpha$  が増大すれば、

$\alpha$  が  $10^\circ$  程度までは、その影響もわずかであるが崩壊荷重は減少傾向にある。

$m_y + m_z + n - 0.840t = 1; (1,0,0)(0,1,0)(0,0,1)(0.463, 0.463, 0.463, 0.463)$
$-0.840m_y + m_z + n + t = 1; (0,1,0)(0,0,1)(0,0,1)(0.463, 0.463, 0.463, 0.463)$
$2 m_y - 0.840m_z + n + t = 1; (0,0,1)(0,0,1)(1,0,0)(0.463, 0.463, 0.463, 0.463)$
$m_y + m_z - 0.840n + t = 1; (0,0,1)(1,0,0)(0,1,0)(0.463, 0.463, 0.463, 0.463)$

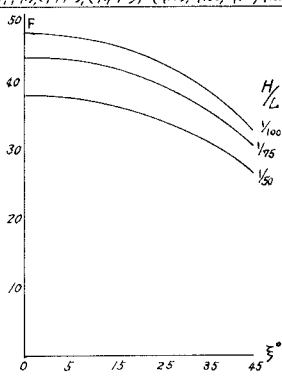


図-7 崩壊荷重  $F$  ( $t/L = 1/8$ )